

# 固体核径迹探测器的刻度<sup>\*</sup>

任国孝<sup>1)</sup> 荆贵茹

(中国科学院高能物理研究所粒子天体物理重点实验室 北京 100049)

**摘要** 为了测量在神舟飞船返回舱内由空间重电离粒子引起的辐射剂量,采用了固体核径迹探测器 CR-39 来测量飞船飞行期间,返回舱内由重电离粒子引起的能量沉积.本文介绍了 CR-39 探测器对能量沉积的响应的刻度.

**关键词** 固体核径迹探测器 CR-39 受限能损 REL 线能量传递 LET 辐射剂量 刻度

## 1 引言

空间环境中存在着不同来源的辐射,其中的重电离粒子在物质中的能量沉积较大,对人体和宇航半导体器件造成较大的损伤.因此,测量它们的辐射剂量具有重要的实用意义.固体核径迹探测器(SSNTD)CR-39 具有结构简单、坚固、不需要电源和遥测遥控,它只对重电离粒子灵敏,并且具有对高能量沉积不易饱和等优点,很适合用作空间重电离粒子辐射剂量的测量.但是,由于它必须在地面回收后,经过化学处理,才能给出结果,因此,它只能安装在飞船的返回舱内,适于进行重电离粒子的总辐射剂量的测量.

回收后的 CR-39 片,经过一定的化学蚀刻后,在电离粒子通过的上、下表面形成了径迹蚀刻斑,此斑的几何尺寸与粒子在 CR-39 片中的受限能损 REL (Restricted Energy Loss) 有单值对应关系.受限能损小于总能损,它只是打击电子的能量  $E$  小于某个预设值  $E_0$  那部分碰撞的能量损失,从实验中得知只有打击电子的能量小于 200eV 的这部分能量损失,才对形成 CR-39 上的径迹有贡献,此受限能损记为  $REL_{200}$ .已知在粒子速度为相对论速度的近似下,粒子给予 CR-39 的线能量传递 LET (Linear Energy Transfer) 值约为受限能损  $REL_{200}$  的百分之十九<sup>[1]</sup>.由

于线能量传递 LET 是与辐射剂量成比例的,因此由 LET 分布可以求出吸收剂量(Obsorbed Dose)和包含有生物效应在内的剂量当量(Dose Equivalent)<sup>[1]</sup>.

径迹蚀刻斑几何尺寸与受限能损的关系,不能用任何理论公式计算出来,也不能借用别的实验室的刻度曲线.因为蚀刻斑几何尺寸是由径迹蚀刻速率比  $V$  来决定的,而蚀刻速率比  $V$  除了和入射粒子的受限能损  $REL_{200}$  有关外,还和探测器 CR-39 的性质、生产厂家,以至生产批号以及蚀刻条件(蚀刻溶液的性质、温度、浓度)等紧密相关,所以,必须用已知能量和电荷值的粒子束流(也就是知道了粒子的受限能损),照射所要使用的 CR-39,再在与实验用的相同的条件下蚀刻它们.经过对径迹斑的几何尺寸的测量、计算得出蚀刻速率比  $V$ ,建立起蚀刻速率比  $V$  与受限能损  $REL_{200}$  的对应关系,得到它们的关系曲线.这个过程称为固体核径迹探测器 CR-39 的刻度.本文介绍了刻度工作,刻度曲线,以及利用刻度曲线得到的神舟 3 号和神舟 4 号的返回舱内的重电离粒子的 LET 分布、吸收剂量和剂量当量.

## 2 实验方法

我们采用的固体核径迹探测器 CR-39 是厚度约为 0.7mm 的英国 Tastrack 产品.

2004-09-15 收稿

\* 国家载人航天工程项目资助

1) E-mail: dinglk@mail.ihep.ac.cn

为了获得 CR-39 的刻度曲线,需要选用 REL 值不同的已知能量和电荷值的粒子束流来照射 CR-39 片.对选取的束流有以下要求:在 REL 值低端,不要离 CR-39 的灵敏阈太远;在 REL 值高端,尽量接近 CR-39 的饱和区.这样,保证在尽可能宽的量程内有较为准确的标定值.在用束流照射时,束流中的粒子密度要小,便于对径迹斑的测量.根据要求,选用了日本的 HIMAC 和 RIKEN 离子加速器的 9 种束流进行照射,它们的种类和能量列在表 1 的第 1 列和第 2 列.

束流近垂直入射到 CR-39 片上,照射后的 CR-39 放在温度为  $(50 \pm 0.5)^\circ\text{C}$ , 浓度为  $5.96 \pm 0.04\text{ mol/L}$  的 NaOH 水溶液中蚀刻.从空间返回的 CR-39 片也是在

这种条件下蚀刻.蚀刻时间  $t$  列在表 1 的第 3 列, 蚀刻时间选取要恰当, 时间长了径迹斑会重叠, 致使不能测量; 时间短了, 径迹斑小, 影响测量精度. 经过蚀刻, 各 CR-39 片表面剥去的厚度  $h$  列在表 1 的第 4 列. 用自己建立的自动显微镜装置, 测量束流粒子在 CR-39 上所形成的径迹斑, 其椭圆长轴  $D$  和短轴  $d$  的平均值列在表 1 的第 5 列和第 6 列. 这里的 1 个像素, 在  $40 \times$  物镜下长度为  $0.4033\mu\text{m}$ . 另外, 也曾用中国原子能研究院的 10 MeV ( $\text{REL}_{200} = 25.86\text{ MeV}/(\text{g}\cdot\text{cm}^{-2})$ ) 质子束流和日本的 12 MeV ( $\text{REL}_{200} = 22.24\text{ MeV}/(\text{g}\cdot\text{cm}^{-2})$ ) 质子束流, 照射 CR-39, 都没有看到径迹斑. 说明此种 CR-39 径迹探测器的探测阈值大于  $25.86\text{ MeV}/(\text{g}\cdot\text{cm}^{-2})$ .

表 1 刻度束流及实验参数

束流种类	束流能量/ $\text{A}\cdot\text{MeV}$	蚀刻时间/h	剥蚀厚度 $h/\mu\text{m}$	椭圆长轴 $D$ (像素数)	椭圆短轴 $d$ (像素数)	$V - 1$	$\text{REL}_{200}/(\text{MeV}/(\text{g}\cdot\text{cm}^{-2}))$
$^{48}\text{Ti}$	90	96	21.12	$83.7 \pm 1.0$	$81.8 \pm 1.2$	$3.0 \pm 0.2$	1234
$^{56}\text{Fe}$	500	96	21.12	$65.3 \pm 0.8$	$64.7 \pm 0.8$	$1.22 \pm 0.04$	993.6
$^{40}\text{Ar}$	650	168	36.96	$84.0 \pm 1.0$	$82.8 \pm 1.2$	$0.51 \pm 0.02$	430.4
$^{28}\text{Si}$	800	192	42.24	$74.3 \pm 1.2$	$72.7 \pm 1.2$	$0.28 \pm 0.01$	243
$^{20}\text{Ne}$	600	96	21.12	$23.0 \pm 0.8$	$22.5 \pm 1.1$	$0.099 \pm 0.008$	136.7
$^{12}\text{C}$	400	236	51.92	$22.2 \pm 1.3$	$21.3 \pm 1.1$	$0.014 \pm 0.001$	59
$^{16}\text{O}$	100	160	35.28	$62.6 \pm 1.2$	$57.4 \pm 1.3$	$0.31 \pm 0.01$	271.4
$^{28}\text{Si}$	490	160	35.28	$62.7 \pm 1.8$	$61.2 \pm 1.8$	$0.33 \pm 0.01$	299.5
$^{84}\text{Kr}$	70	24	6.0	$28.6 \pm 0.8$	$28.0 \pm 1.0$	$4.2 \pm 0.9$	7541

由公式(1)计算出粒子径迹的蚀刻速率比  $V$  (或叫灵敏度)<sup>[2]</sup>:

$$V = \frac{\sqrt{(1 - B^2)^2 + 4A^2}}{1 - B^2}, \quad (1)$$

其中  $A = D/2h$ ,  $B = d/2h$ ,  $h$  为蚀刻中剥去的厚度.

只有当  $V$  大于 1 时, 才能看到径迹斑, 所以用  $V - 1$  作为 CR-39 的输出信号.  $V - 1$  值列在表 1 的第 7 列.

表 1 的第 8 列是用公式(2)计算出的  $\text{REL}_{200}$  值<sup>[3]</sup>:

$$\text{REL}_{E < E_0} = \frac{C_1 Z^{*2}}{\beta^2} \left[ \ln \frac{W_{\max} E_0}{I^2} - \beta^2 - \delta - U \right], \quad (2)$$

式中  $C_1 = 2\pi \cdot n_e \cdot e^4 / mc^2$ ,  $n_e$  为电子密度,  $m$  为电子质量,  $E$  为打击电子的能量,  $E_0$  为  $200\text{eV}$ ,  $Z^*$  为入射粒子的有效电荷,  $W_{\max} = 2mc^2\beta^2\gamma^2$ ,  $\gamma = (1 - \beta^2)^{-1/2}$ ,  $I$  为探测器的平均电离电位,  $\delta$  为介质的极化效应的修正因子,  $U$  为内层电子的修正因子.

采用 Benton 的程序计算出  $\text{REL}_{200}$  值.

### 3 结果和讨论

用表 1 列出的各种束流粒子的  $V - 1$  和  $\text{REL}_{200}$  值, 作出对应关系图, 光滑连接各实验点得到图 1 所示的刻度曲线. 由图 1 看出, 采用的 CR-39 片的灵敏阈约  $50\text{MeV}/(\text{g}\cdot\text{cm}^{-2})$ ; 从  $50\text{MeV}/(\text{g}\cdot\text{cm}^{-2})$  到  $7500\text{MeV}/(\text{g}\cdot\text{cm}^{-2})$  的范围内,  $V - 1$  与  $\text{REL}_{200}$  有很好的正比关系; 在  $\text{REL}_{200}$  大于  $5000\text{MeV}/(\text{g}\cdot\text{cm}^{-2})$ ,  $V - 1$  才趋于饱和. 即  $V - 1$  在  $0.01$ — $4$  的范围内, 此 CR-39 片有较好的分辨率.

利用这一刻度曲线, 作出了神舟 3 号和神舟 4 号返回舱的 LET 积分分布, 如图 2 中的 SZ-3 和 SZ-4 所示. 由图看出, 它们的 LET 分布形状近似, 只是 SZ-4 的流强比 SZ-3 高些. 这是由于神舟 3 号和神舟 4 号的轨道参数相同, 但是发射的时间不同造成的. 神舟 4 号发射时间离太阳活动周期极大的时间比神舟 3 号要远些, 因而流强稍高.

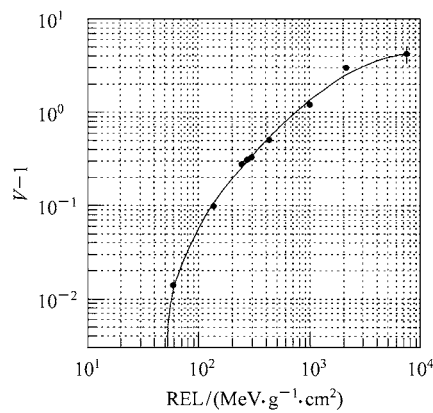


图1 CR-39刻度曲线

神舟3号和神舟4号返回舱内,在LET大于 $12.6\text{keV}/\mu\text{m-H}_2\text{O}$ 时,总吸收剂量分别为: $(23.50 \pm 0.46)\mu\text{Gy}$ 和 $(35.34 \pm 1.57)\mu\text{Gy}$ .总的剂量当量分别为 $(355.6 \pm 9.7)\mu\text{Sv}$ 和 $(574.4 \pm 15.6)\mu\text{Sv}$ .

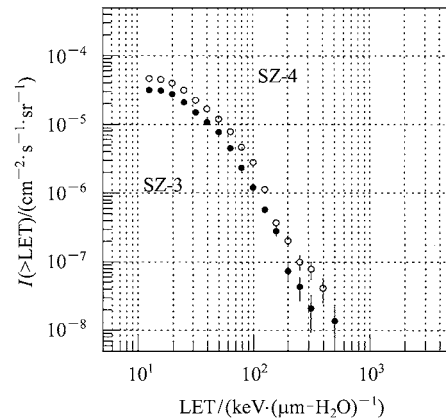


图2 LET积分分布

感谢日本早稻田大学T.Doke教授和T.Hayashi博士为探测器进行了束流照射,使我们的刻度工作得以完成;感谢空间环境预报与监测分系统的大力支持与帮助.

## 参考文献(References)

- 1 Doke T et al. Radiation Measurement, 1995, **24**: 75—82
- 2 ZHU Run-Sheng. Solid State Nuclear Track Detector in Principles and Applications. Beijing: Science Press, 1987. 248 (in Chinese)

(朱润生.固体核径迹探测器的原理和应用.北京:科学出版社, 1987. 248)

- 3 Fleischer R L, Price P B, Walker R M. Nuclear Tracks in Solid: Principles & Applications. University of California Press Berkeley and Los Angeles, California, 1975. 30

## Calibration of Solid State Nuclear Track Detector CR-39\*

REN Guo-Xiao<sup>1)</sup> JING Gui-Ru

(Institute of High Energy Physics, The Chinese Academy of Sciences, Beijing 100049, China)

**Abstract** In order to measure the radiation dosimetry by heavy ions which entered the Shen-Zhou (SZ) shuttles, a solid state nuclear track detector CR-39 was installed in the inner wall of SZ recoverers. Using a CR-39 detector the energy transfer from heavy ions was measured when the shuttle was travelling in space. This work described a calibration of the response of CR-39 detector to the energy deposition using 9 ion accelerator beams from C to Kr. The calibration points cover the whole sensitive region of the CR-39 detector. For the linear energy transfer (LET) is larger than  $12.6\text{ keV}/\mu\text{m-H}_2\text{O}$ , the total absorbed dose of SZ-3 and SZ-4 are obtained to be  $(23.50 \pm 0.46)\mu\text{Gy}$  and  $(35.34 \pm 1.57)\mu\text{Gy}$ , respectively, the corresponding total dose equivalent are obtained to be  $(355.6 \pm 9.7)\mu\text{Sv}$  and  $(574.4 \pm 15.6)\mu\text{Sv}$ , respectively.

**Key words** solid state nuclear detector CR-39, restricted energy loss REL, linear energy transfer LET, radiation dosimetry, calibration

Received 15 September 2004

\* Supported by Shen-Zhou Shuttle Project

1) E-mail: dinglk@mail.ihep.ac.cn